

## II-8 淹防波堤の消波機能に関する研究。 —特に透過率の表示に関する考察—

山口大学工学部 正会員 金山和種  
山口県防護課 正会員 ○松山裕  
山口大学工芸部 正会員 藤原光輝

運動量の分布は次式となる。

$$M = \frac{\rho C k^2 A^2}{\sinh^2 kh} \cosh 2k(h-d) \quad (2)$$

—波長あたりの質量の輸送速度は(1)式より次式となる。

$$U = CR^2 A^2 \frac{\cosh 2k(h-d)}{2 \sinh^2 kh} \quad (3)$$

よし水面から水底の間で一周期の間に輸送される運動量は  $MU$  を積分することによって次式で与えられる。

$$M_I = \frac{\rho C^2 k^2 H_I^4}{256 \sinh^4 kh} (\sinh 4kh + 4kh) \quad (4)$$

一方水底と  $d$  の間を通じて輸送される運動量は同様に次式となる。

$$M_T = \frac{\rho C^2 k^2 H_I^4}{256 \sinh^4 kh} \{ \sinh 4kh - \sinh 4k(h-d) + 4k(h-d) \} \quad (5)$$

又  $d$  と水面の間を通じて輸送される運動量は次式となる。  
 $M_R = \frac{\rho C^2 k^2 H_I^4}{256 \sinh^4 kh} \{ \sinh 4kh - \sinh 4k(h-d) + 4kd \} \quad (6)$

消防波堤前面において入射した運動量は壁面の部分では完全に反射され反射波を形成する。又水底と  $y=d$  の間に入射した運動量は消防波堤壁面のマサツを受けながら背後域に透過し透過波を形成すると仮定すれば透過率は次の様に定義される。反射波、透過波の有する運動量輸送量は次の様にも表示できる。

$$M_I = \frac{\rho C^2 k^2 H_I^4}{256 \sinh^4 kh} (\sinh 4kh + 4kh) \quad (7)$$

$$M_R = \frac{\rho C^2 k^2 H_I^4}{256 \sinh^4 kh} (\sinh 4kh + 4kh) \quad (8)$$

したがって(4)式(7)式(8)より次式を得る。

$$\frac{M_T}{M_I} = \frac{H_I^4}{H_I^4} \quad (9)$$

$$\text{よし } K_T = \frac{4 \int M_T}{M_I} = \frac{4 \int \sinh 4k(h-d) + 4k(h-d)}{\sinh 4kh + 4kh}$$

$$= \frac{4 \int \sinh 4k(h-d) + 4k(h-d)}{\sinh 4kh + 4kh} \quad (10)$$

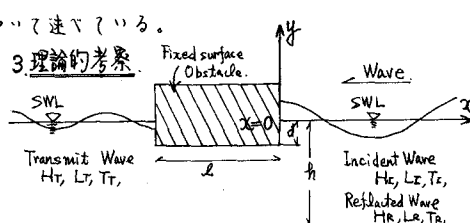


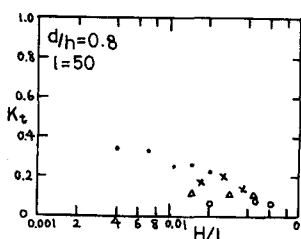
Fig-1. Notation and definition of Symbols.

流体は非圧縮性、完全液体とする。入射波に有限振幅波を仮定すれば、一般に波の方向へ質量が輸送される水表面と  $y=d$  の間に有する一周期あたりの運動量は次式で表示される。

$$M = \pi \rho A^2 \left\{ \coth kh - \frac{\sinh kh(h-d) \cosh kh(h-d)}{\sinh^2 kh} \right\} \quad (1)$$

ここで  $f$  は海防波堤による運動量損失係数である。

4 実験的考察。実験装置等についてはスライドで報告する。実験に際しては水深を固定(40cm)し、 $L/d$  を9種、堤長を3種類変化させ各々の組合せに対しても波形勾配  $0.004 \sim 0.073$  の範囲の波を作用させ実験総数500回について測定した。Fig-2は透過率の実験値と  $f$  の関係を  $\frac{Hh}{L}$  及び  $d/L$  をパラメータとして表したもの的一部である。



これらより次の事が言える。 $\beta$  が大きい程、 $L/d$  が大きい程、 $K_t$  は減少する。

$\beta$  が小さい時は  $Hh/L$  の増大に伴い  $K_t$  は横ばいであるかは減少の傾向を示す。 $\beta$  が大きい時は  $K_t$  の増大に伴い  $K_t$  は減少する。

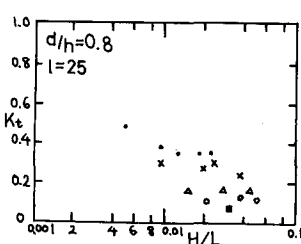


Fig-3 は  $f \propto \frac{Hh^{1.5}}{L^2}$  の関係を両対数紙上に示したもの的一部である。これらより

Fig-2. Relationship between  $\frac{Hh}{L}$  and  $K_t$  保にある事が推察できる。両者の関係を次式で表現できる。

$$f = d \left( \frac{Hh}{L} \right)^{\beta} \quad (11)$$

ここに  $d$ 、 $\beta$  はともに無次元の係数であり  $Hh/L$  の関係より  $d/L$  と Fig-4 と示す様な関係をもつ。

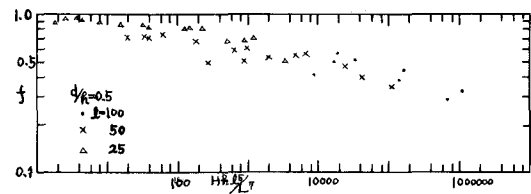
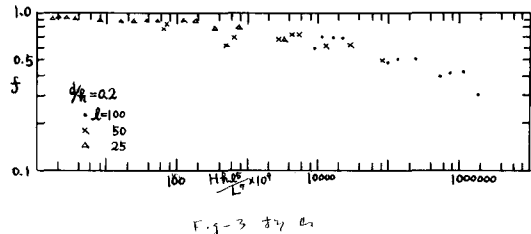


Fig-3 Relationship between  $f$  and  $Hh^{1.5}/L^2$ ,

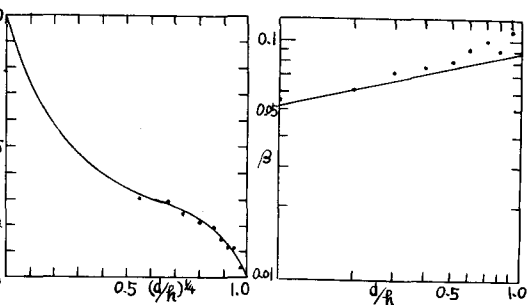


Fig-4. Relationship between  $d$ 、 $\beta$  and  $d/h$ 。

Fig-4 は  $d$ 、 $\beta$  に対して次式を得る。

$$\begin{aligned} d &= [-1.552(\frac{d}{h})^{1/4}]^4 + 1.127(\frac{d}{h})^{1/4} + 1.648(\frac{d}{h})^{1/4} \\ &\quad - 2.223(\frac{d}{h})^{1/4} + 1.0 \end{aligned} \quad (12)$$

$$\beta = -0.08660 (\frac{d}{h})^{0.243} \quad (13)$$

Fig-5 は (10) 式による計算値と実験値を対比させたもの的一部である。これらは透過現象の性状を示していることを示す。

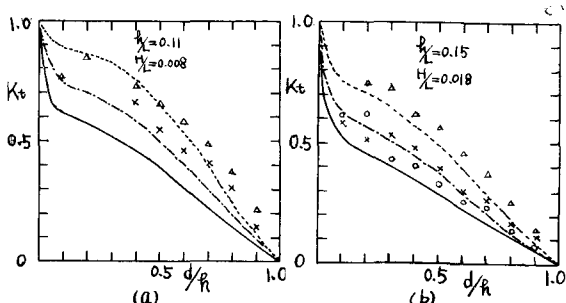


Fig-5 Compare with theory and experiment

(昭和50年3月31日)

## 5. 参考文献

### 1) 金山和太雄

海岸工学論文集 第21回 1974年

P 393 ~ 400.